

بررسی سنگنگاری، شیمی کانی‌ها و چگونگی تشکیل توده آمفیبیول متاگابروی اسکاپولیتی، مجموعه دگرگونی بنه‌شورو، شرق ساغند، ایران مرکزی

لیلا ملکی^{*}، نعمت‌الله رشیدنژاد عمران^۱

- ۱- گروه زمین‌شناسی، دانشکده علوم پایه، دانشگاه پیام نور، تهران، ایران
۲- گروه زمین‌شناسی، دانشکده علوم پایه، دانشگاه تربیت مدرس، تهران، ایران
(دریافت مقاله: ۱۴۰۳/۴/۳، نسخه نهایی: ۱۴۰۳/۶/۱۲)

چکیده: توده آمفیبیول متاگابروی مورد بررسی از محدود رخمنوں‌های منطقه بوده که با وجود عملکرد فرایندهای دگرگونی، دگرشکلی‌های شکل‌پذیر و دگرنهادی بر مجموعه، آثاری از بافت آذرین اولیه را در خود حفظ کرده است. بافت این گروه سنگی، از بافت آذرین باقی‌مانده، تا بافت نواری جهت‌یافته در تغییر است. آمفیبیول و پلازیوکلاز از کانی‌های اصلی و پیروکسن، کوارتز، فلوگوپیت، اسکاپولیت، کلسیت، تیتانیت و کانی‌های کدر، سایر کانی‌های تشکیل‌دهنده این توده هستند. بر اساس بررسی شیمی کانی، بلورهای آمفیبیول موجود در زمینه و آمفیبیول‌های واقع در لبه بلورهای کلینوبیروکسن اغلب ترکیب کلسیمی داشته و به ترتیب در مزر مشترک گستره آمفیبیول‌های آذرین - آمفیبیول‌های کلسیمی دگرگونی فشار پایین و آمفیبیول‌های آذرین قرار دارند. ترکیب بلور پیروکسن، در گستره پیروکسن‌های آذرین و رده اوژیت سدیمی واقع هستند و بلورهای پلازیوکلاز ترکیب اولیگوکلاز دارند. بررسی شیمی کانی در کنار بازدیدهای صحرایی نشان می‌دهد که تغییر از گابرو به آمفیبیول متاگابروی اسکاپولیتی به احتمال بسیار طی فرایند آبدار شدن و آمفیبیولی شدن توده گابرویی اولیه و مراحل مختلف جایگزینی کانی‌ها صورت گرفته است.

واژه‌های کلیدی: ایران مرکزی؛ ساغند؛ آمفیبیول متاگابرو؛ شیمی بلور؛ آمفیبیول؛ پیروکسن.

مقدمه

شده‌اند [۲]. برای نخستین بار، ملکی [۳]، به وجود چنین رخمنوی در منطقه اشاره کرده است. بررسی‌های شیمی سنگ کل و سن سنجی اورانیوم-سرب بلورهای زیرکن در این رخمنون انجام گردیده است. بر اساس بررسی‌های شیمی سنگ کل، متاگابروها از ذوب درجه پایین یک خاستگاه غنی، عمیق و دارای گارنت باقیمانده شکل گرفته و در یک محیط درون قاره‌ای بروند یافته‌اند [۴]. سن ماقمای مادر این رخمنون بر اساس سن سنجی به روش U-Pb بلورهای زیرکن، 541.2 ± 4.4 میلیون سال ($MSWD = 1.8$) گزارش شده است [۵]. تا کنون

توده متاگابرویی مورد بررسی در انتهای شرقی کوههای زمان آباد (مجموعه دگرگونی بنه‌شورو) واقع است (شکل ۱ [۱]). گنیس‌های کوارتز فلدسپاتی (کانی تیره کمتر از ۵ درصد)، آمفیبیول - بیوتیت گنیس، هورنبلنیدیت، آمفیبیولیت، آمفیبیول شیست، توده‌های فرامافیک دگرگون‌شده، متاگابرو و شیست‌های پلیتی و نیمه پلیتی، همراه با میان‌لایه‌هایی از مرمر و کوارتزیت، تشکیل دهنده مجموعه بنه‌شورو هستند، که همه دچار دگرگونی قهقهایی در حد رخساره آمفیبیولیت پایینی

نویسنده مسئول، تلفن: ۰۹۱۶۶۴۸۳۶۲، پست الکترونیکی: l.maleki@pnu.ac.ir



مختصات دقیق جغرافیایی و به صورت اصولی برداشت گردید. از میان آنها، ۲۶ مقطع نازک میکروسکوپی تهیه و بررسی شدند. تعداد ۳ مقطع نازک به روش ریزکاوش الکترونی (EPMA) تجزیه گردیدند.

ترکیب شیمیایی کانی‌ها با ابر کاوشگر JEOL JXA-8230 مجهز به چهار طیف سنج تفکیک طول موج (WDS) در دانشگاه Rhodes (آفریقای جنوبی) تعیین شد. برای واسنجی دستگاه از کانی‌های استاندارد مرجع SPI (www.2spi.com) استفاده گردید. در همه تجزیه‌ها، ولتاژ شتابدهنده باریکه الکترون 15 kV ، شدت جریان 20 nA ، قطر باریکه الکترون $1\mu\text{m}$ و زمان شمارش 10 ثانیه بوده است. انحراف استاندارد خطای اندازه‌گیری دستگاهی در گستره $0.2\text{--}1.4\text{ }\mu\text{m}$ درصد برای هر فاز اندازه‌گیری، درستی داده‌های تجزیه را تأیید می‌کند.

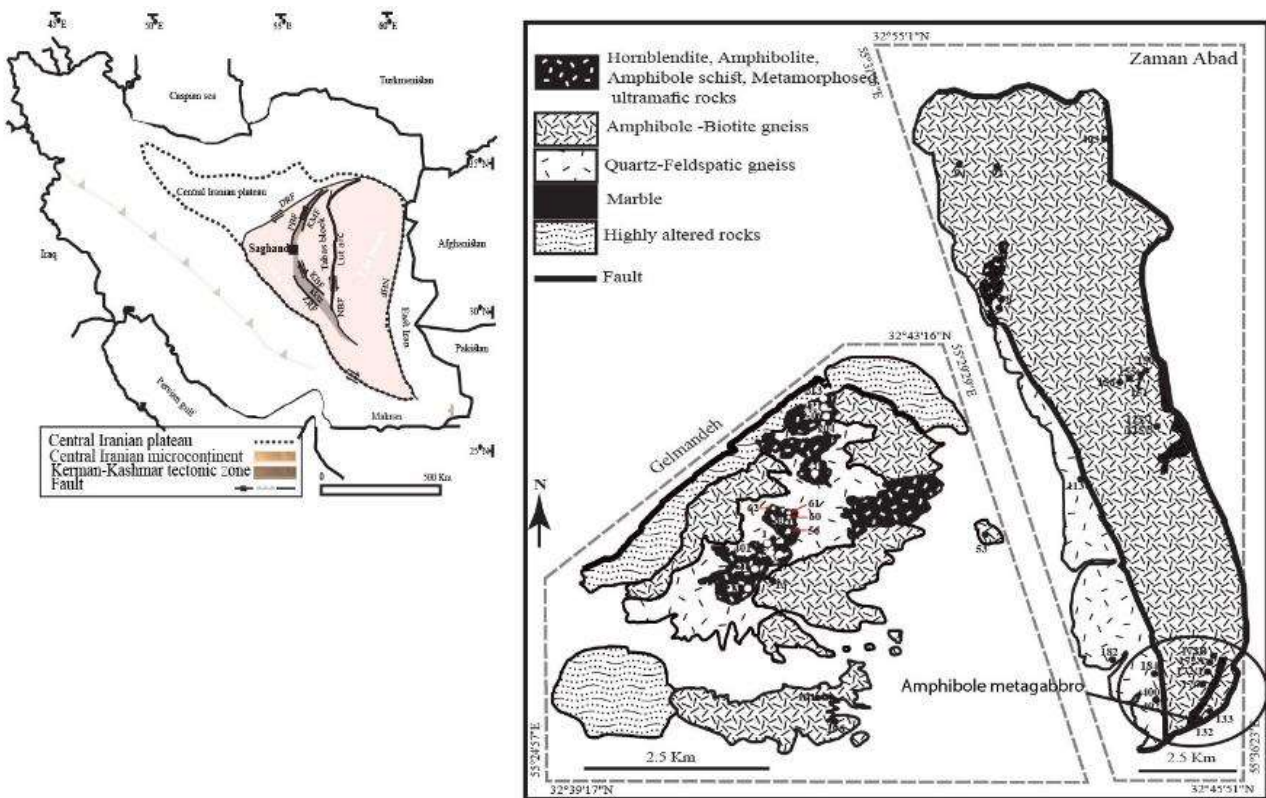
پژوهشی پیرامون شیمی بلورها و ویژگی‌های سنگنگاری این توده آمفیبول متاگابروی اسکاپولیتی انجام نشده است، از این رو در این پژوهش، این ویژگی‌ها در کنار سیمای دگرشکلی بلورها بررسی شده و چگونگی تشکیل احتمالی این توده مورد بحث قرار گرفته است.

موقعیت زمین‌شناسی

توده متاباًبروی مورد بررسی بخشی از مجموعه دگرگونی پنهانشورو بوده که در شمال شرق ساغند و در حوضه ایران مرکزی واقع است (شکل ۱). مجموعه پنهانشور بخش هایی از نقشه ۱:۵۰۰۰۰۰ بیابانک-بافق [۶] و نقشه ۱:۱۰۰۰۰ پشت بادام [۷] را شامل می شود.

روش بررسی

به منظور بررسی های سنگنگاری و شیمی کانی های رخمنون مورد نظر، پس از بازدیدهای صحرایی، ۳۰ نمونه با تعیین

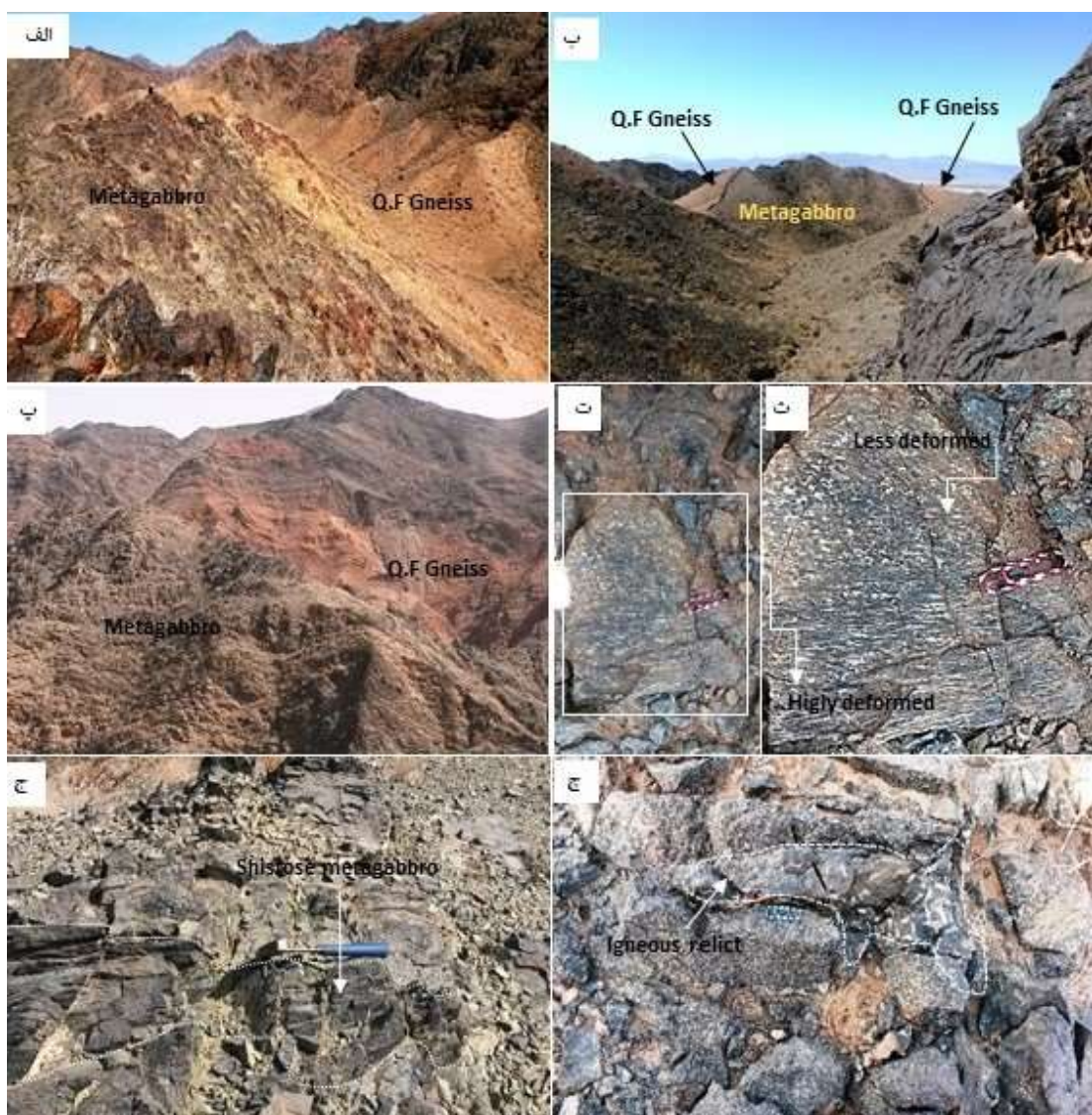


شکل ۱ (الف) موقعیت فرارگیری ساغند، ایران مرکزی و کمریند زمین ساختی کرمان-کاشمر. محل گسل‌ها و مرز بخش‌های مختلف، از مرجع [۱] گرفته شده است. (ب) نقشه زمین‌شناسی منطقه مورد بررسی.

بحث و بررسی
ویژگی‌های صحرایی

میزان متفاوت جهت یافتنگی بلورها (شکل‌های ۲ ت، ث)، وجود برگوارگی محلی (شکل ۲ ج) و حفظ بافت آذرین اولیه (دانهای) در برخی نقاط گردیده است (شکل ۲ ج). در بخش‌های حاشیه‌ای توده، تبدیل بافت ماقمایی به بافت ساختار جامد به خوبی دیده می‌شود و جهت یافتنگی کامل بلورها و تشکیل نوارهای تیره و روشن در اثر دگرشکلی جامد شدیدتر این نواحی ایجاد شده است (شکل‌های ۲ ت، ث). بلورهای آمفیبول، سازنده لایه‌های تیره و بلورهای پلاژیوکلاز، سازنده لایه‌های روشن هستند. از ویژگی‌های جالب توجه در این توده، درصد حجمی بالای کانی آمفیبول (۷۰ درصد) است. شکستگی‌های متعدد موجود در توده با اپیدوت پر شده‌اند.

در دورترین بخش جنوب‌شرقی مجموعه زمان‌آباد و در کنار گنیس‌های کوارتز فلدسپاتی، یک توده متاگابرویی دگرشکل شده بروزد دارد (شکل ۱ ب). مرز مشترک این توده با گنیس‌های پیرامون، در بعضی نقاط گسله و در سایر نقاط غیر گسله (شکل ۲ ب) و بدون حاشیه سرد شده است. گاه این توده متاگابرویی در راستای برگوارگی گنیس‌ها کشیده شده (شکل ۲ ب، پ) و شبیه و راستای برگوارگی این واحد سنگی با گنیس‌های کنار هم سو است (شکل ۲ پ). شدت تغییر شکل در نقاط مختلف توده یکسان نبوده و این امر باعث



شکل ۲ (الف و ب) رخمنون توده متاگابرویی در کنار گنیس کوارتز فلدسپاتی (Q.F Gneiss). (پ) همسو بودن شبیه و راستای برگوارگی توده متاگابرویی و گنیس‌های کوارتز فلدسپاتی کناری. (ت) تفاوت شدت دگرشکلی در بخش‌های مختلف توده متاگابرویی. (ث) نمایی بزرگ‌تر از چارگوش تصویر پ. (ج) شیستوارگی محلی در توده متاگابرویی. (ج) بافت آذرین باقیمانده در توده متاگابرویی.

چندرنگی ضعیف سبز کمرنگ تا پررنگ هستند. بلورهای آمفیبول موجود در زمینه، دارای میزان ≥ 1 $(\text{Ca}+\text{Na})^{\text{B}}$ و $\text{Na}^{\text{B}} < 0.5$ بوده (جدول ۱) و بر اساس نمودارهای رده‌بندی آمفیبول [۸]، از گروه آمفیبول‌های کلسیمی، رده فروپارگاسیت، منیزیو هاستینگزیت و منیزیو هورنبلند هستند (شکل‌های ۳ الف، پ، ث).

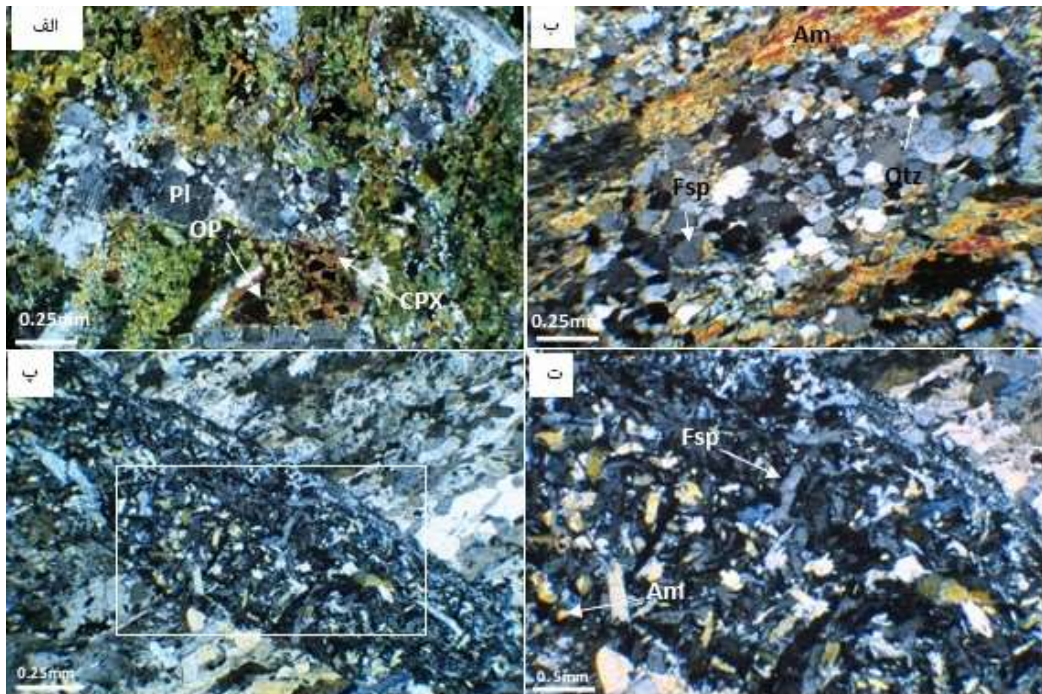
برخی بلورهای آمفیبول موجود در لبه پیروکسن دارای ≥ 1 $(\text{Ca}+\text{Na})^{\text{B}}$ و $\text{Na}^{\text{B}} < 0.5$ و برخی دارای < 1 $(\text{Ca}+\text{Na})^{\text{B}}$ و $\text{Na}^{\text{B}} > 0.5$ رده‌بندی آمفیبول [۸]، بلورهای دسته اول از گروه آمفیبول‌های کلسیمی، رده اکتینولیت، منیزیو هورنبلند و فروهورنبلند (شکل‌های ۴ الف، پ) و بلورهای دسته دوم از گروه آمفیبول‌های منیزیم-منگنز-لیتیومدار، رده آنتوفیلیت، هستند (شکل ۴ ث). بر پایه نمودار ${}^{IV}\text{Al} / {}^{VI}\text{Al}$ [۹]، که تفکیک کننده آمفیبول‌های آذرین از آمفیبول‌های دگرگونی است، آمفیبول‌های کلسیمی دگرگونی فشار پایین و آمفیبول‌های آذرین و آمفیبول‌های لبه بلورهای کلینوپیروکسن در گستره آمفیبول‌های آذرین قرار دارند (شکل ۴ ب).

سنگنگاری و شیمی کانی

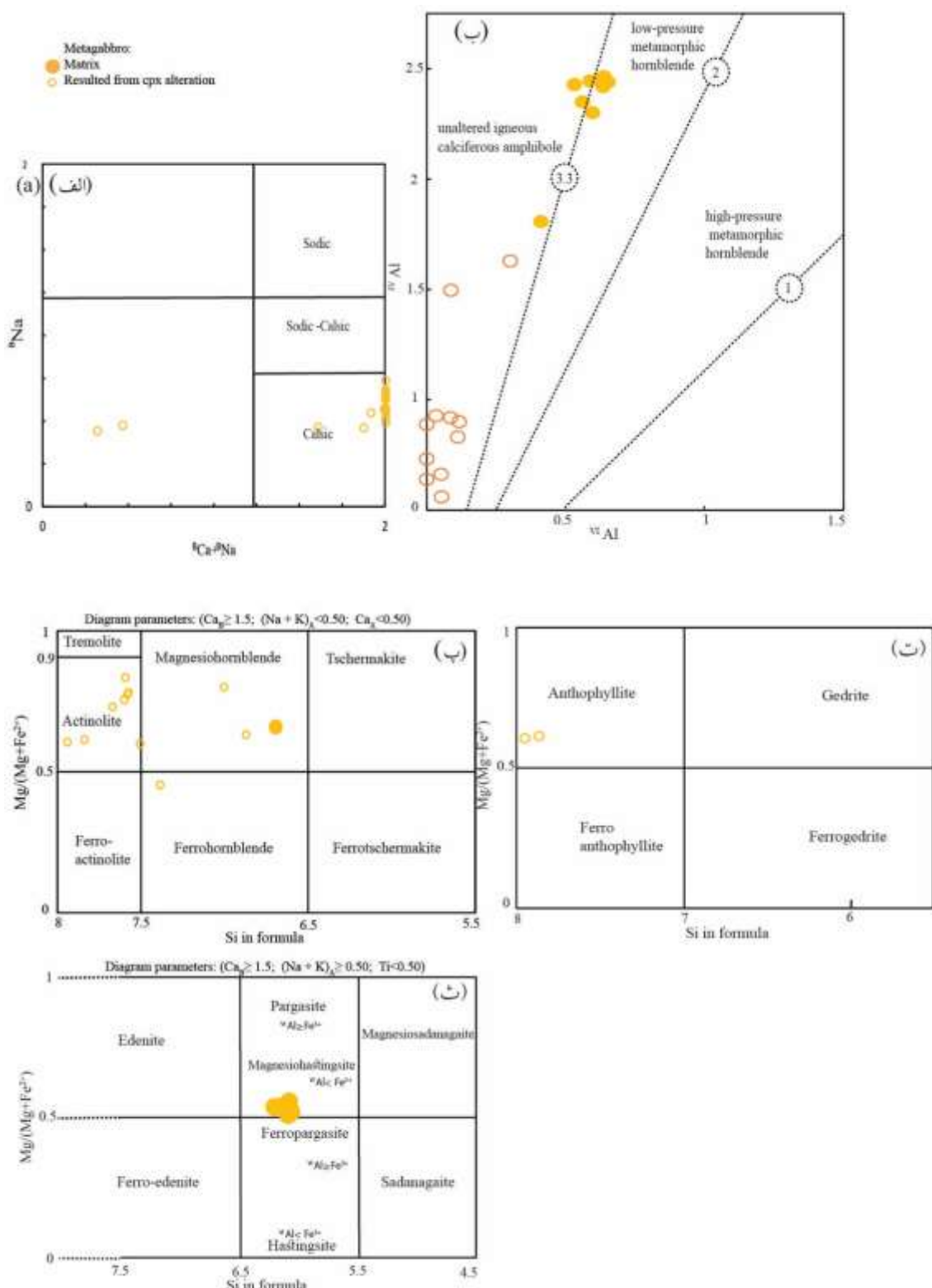
کانی‌های تشکیل دهنده توده متاگابروی شامل آمفیبول (۷۰-۵۰٪)، پلاژیوکلاز (۴۵-۱۵٪)، کلینوپیروکسن (۱۵٪)، کوارتز (۲٪)، اسکاپولیت (۱٪)، اپیدوت (۳٪)، کلسیت ($< 1\%$)، تیتانیت (۳٪)، میکا (کمتر از ۱٪) و کانی‌های کدر (۳٪) هستند. بافت این گروه سنگی از بافت آذرین باقی‌مانده (شکل ۳ الف) تا بافت نواری جهت‌یافته (شکل ۳ ب) در تغییر است. بافت تنش‌آواری در برخی نمونه‌ها دیده می‌شود (شکل ۳ پ، ت).

آمفیبول

بلورهای آمفیبول، به دو صورت جهت‌یافته نیمه‌شکل‌دار تا خود شکل زمینه (شکل ۴ الف) با چند رنگی سبز کمرنگ تا سبز پررنگ و آمفیبول‌های موجود در بلورهای کلینوپیروکسن (شکل ۴ ب) ظهرور می‌باشد. شکل‌های ماهی‌گون با سوی برش راستگرد و به ندرت چیگرد (شکل ۴ الف)، وجود مرزهای اتصال سه‌گانه محلی (شکل ۴ الف) و خاموشی موجی ضعیف در برخی از بلورها، از سیماهای دگر‌شکلی بلورهای آمفیبول سازنده زمینه هستند. آمفیبول‌های واقع در لبه بلورهای کلینوپیروکسن از تغییر و تبدیل آنها ایجاد شده‌اند و دارای



شکل ۳ تصاویر میکروسکوپی توده متاگابروی: (الف) بافت آذرین باقیمانده (بافت دانه‌ای)، شامل درشت بلورهای کلینوپیروکسن و پلاژیوکلاز. (ب) بافت نواری، ناشی از تفکیک نوارهای آمفیبول از نوارهای فلدسپات و کوارتز. (پ) بافت تنش‌آواری و خرد شدن کانی‌های زمینه در اثر عملکرد فازهای دگر‌شکلی شکنا. (ت) نمایی بزرگتر از چار گوش تصویر ب.



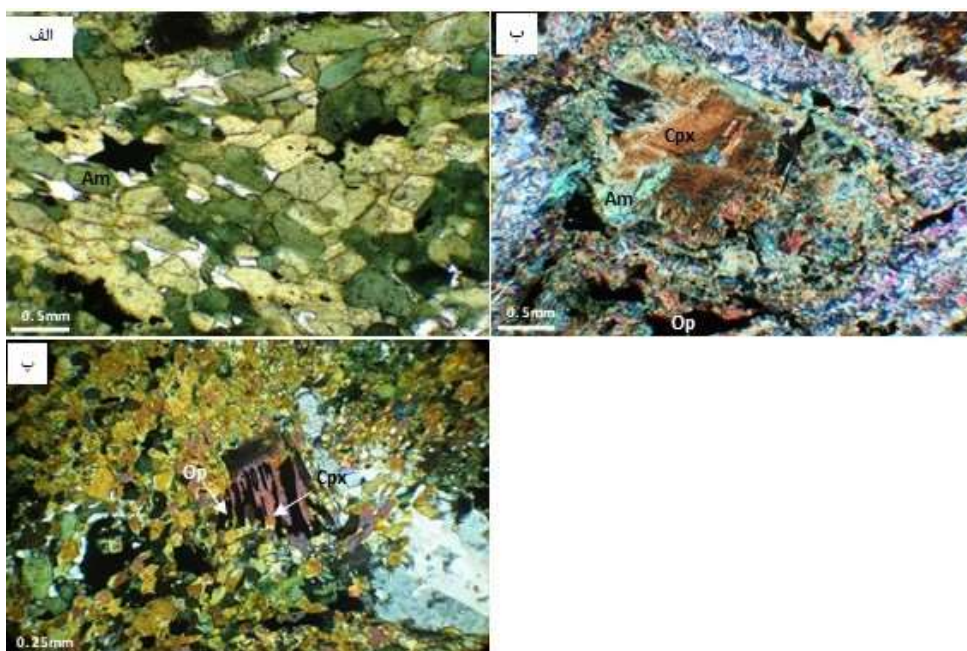
شکل ۴ موقعیت آمفیبول‌های توده متاگابرویی در (الف) نمودار $\text{B}^{\text{Na}}/\text{B}^{\text{Ca}} + \text{B}^{\text{Na}}/\text{B}^{\text{Al}}$ [۷] و (ب) نمودار $\text{Al}^{\text{IV}}/\text{Al}^{\text{VI}}$ [۸]. (پ، ت) موقعیت آمفیبول‌های کلسیمی و (ث) موقعیت آمفیبول‌های منیزیوم-آهن-منگنز-لیتیومدار با سنگ شناسی‌های مختلف منطقه در نمودار مقدار Si در فرمول نسبت به $\text{Mg}/(\text{Mg}+\text{Fe}^{2+})$ [۷]. براین اساس، آمفیبول‌های زمینه اغلب ترکیب فروپارگاسیت-منیزیو هاستینگزیت داشته و در مرز مشترک آمفیبول‌های آذرین و دگرگون قرار دارند و آمفیبول‌های لبه کلینوپیروکسن اغلب ترکیب اکتینولیتی دارد و در گستره آمفیبول‌های آذرین واقع می‌شوند.

جدول ۱ ترکیب شیمیایی بلورهای آمفیبول در متاگابروهای مورد بررسی بر اساس نتایج EPMA (O=۲۳).

نام سنگ	متاگابرو				آمفیبول‌های زمینه	
	آمفیبول‌های حاصل از پیروکسن				۱	۲
تصویف کانی	۱	۲	۳	۴		
شماره کانی						
شماره نقطه	۲۹۵	۲۹۳	۲۸۳	۲۸۲	۲۶۴۱	۲۶۲۰
SiO ₂	۴۹,۳۴	۵۲,۷۰	۴۷,۰۸	۵۳,۸۵	۴۰,۶۷	۴۱,۳۹
TiO ₂	۰,۳۳	۰,۵۰	۰,۶۸	۰,۱۷	۰,۸۱	۰,۷۹
Al ₂ O ₃	۶,۴۸	۱,۲۵	۸,۳۱	۲,۶۴	۱۴,۷۶	۱۳,۵۸
FeO _t	۱۵,۵۴	۲۰,۳۶	۱۵,۸۹	۱۲,۲۳	۱۹,۳۷	۱۸,۸۳
Fe ₂ O _۳	۱۰,۱۶	۰,۰۰	۲,۴۲	۱,۸۰	۶,۷۲	۵,۹۷
FeO	۶,۳۹	۲۰,۳۶	۱۲,۸۲	۱۰,۶۲	۱۲,۳۳	۱۳,۴۶
MnO	۰,۰۵	۰,۰۶	۰,۰۳	۰,۰۱	۰,۰۷	۰,۰۳
MgO	۱۴,۳۰	۱۸,۱۳	۱۲,۳۲	۲,۲۹	۸,۲۴	۸,۳۱
CaO	۱۱,۱۳	۲,۶۴	۱۲,۲۲	۱۲,۷۰	۱۱,۰۹	۱۱,۱۹
Na ₂ O	۱,۲۰	۰,۲۶	۱,۳۵	۰,۳۵	۲,۲۲	۲,۲۱
K ₂ O	۰,۲۰	۰,۰۷	۰,۵۳	۰,۱۰	۰,۸۷	۰,۸۰
H ₂ O*	۲,۱۱	۲,۰۵	۲,۰۵	۲,۱۱	۲,۰۱	۱,۹۸
Total	۱۰۱,۷۰	۹۹,۰۲	۱۰۰,۸۱	۱۰۰,۴۱	۱۰۰,۸۰	۹۹,۶۰
Cation (O=23)						
Si	۷,۰۰	۷,۸۴	۶,۸۷	۷,۶۷	۶,۰۶	۶,۰۸
Al _{tot}	۱,۰۸	۰,۲۲	۱,۴۳	۰,۴۴	۲,۵۹	۲,۵۵
Al ^{iv}	۱,۰۰	۰,۱۶	۱,۱۳	۰,۳۳	۱,۹۴	۱,۹۲
Al ^{vi}	۰,۰۹	۰,۰۵	۰,۳۰	۰,۱۱	۰,۶۵	۰,۶۴
Ti	۰,۰۴	۰,۰۵	۰,۰۷	۰,۰۲	۰,۰۹	۰,۰۹
Fe ^{۳+}	۱,۰۹	۰,۰۰	۰,۳۸	۰,۱۹	۰,۷۵	۰,۵۸
Fe ^{۲+}	۰,۷۶	۲۴,۸	۱,۵۶	۱,۲۶	۱,۶۶	۱,۸۲
Mn	۰,۰۱	۰,۰۱	۰,۰۰	۰,۰۰	۰,۰۱	۰,۰۱
Mg	۲,۰۳	۳,۹۴	۲,۶۸	۳,۴۱	۱,۸۳	۱,۸۷
Ca	۱,۶۹	۰,۴۱	۱,۹۱	۱,۹۴	۱,۷۷	۱,۸۶
Na	۰,۳۳	۰,۰۷	۰,۳۸	۰,۱۰	۰,۶۴	۰,۶۵
K	۰,۰۴	۰,۰۱	۰,۱۰	۰,۰۲	۰,۱۷	۰,۱۵
OH*	۲,۰۰	۲,۰۰	۲,۰۰	۲,۰۰	۲,۰۰	۲,۰۰
Total	۱۸,۱۴	۱۷,۲۶	۱۸,۸۲	۱۷,۵	۲۰,۱۷	۲۰,۲۲

پیروکسن‌های آذرین (شکل ۶ پ)، بر پایه نمودار تقسیم‌بندی سه‌تایی Wo-Cen-Cfs [۱۱] در گستره اوژیت – سالیت Acm-Aug-Jd (شکل ۶ الف) و با توجه به نمودار سه‌تایی [۱۲]، در گستره اوژیت سدیمی (شکل ۶ ب) قرار می‌گیرند. مقدار وزنی Na₂O موجود در کلینوپیروکسن‌ها از ۰,۶۷ تا ۰,۶۷ درصد مولی ژائیت در گستره ۴,۳۹ تا ۵,۵۳ متغیر است (جدول ۲). در تعیین ماهیت ماقما بر اساس ترکیب شیمیایی کانی پیروکسن، از نمودار Ti/Ca+Na [۱۳] استفاده گردید. پیروکسن‌های مورد بررسی در گستره قلیایی قرار می‌گیرند (شکل ۶ ت).

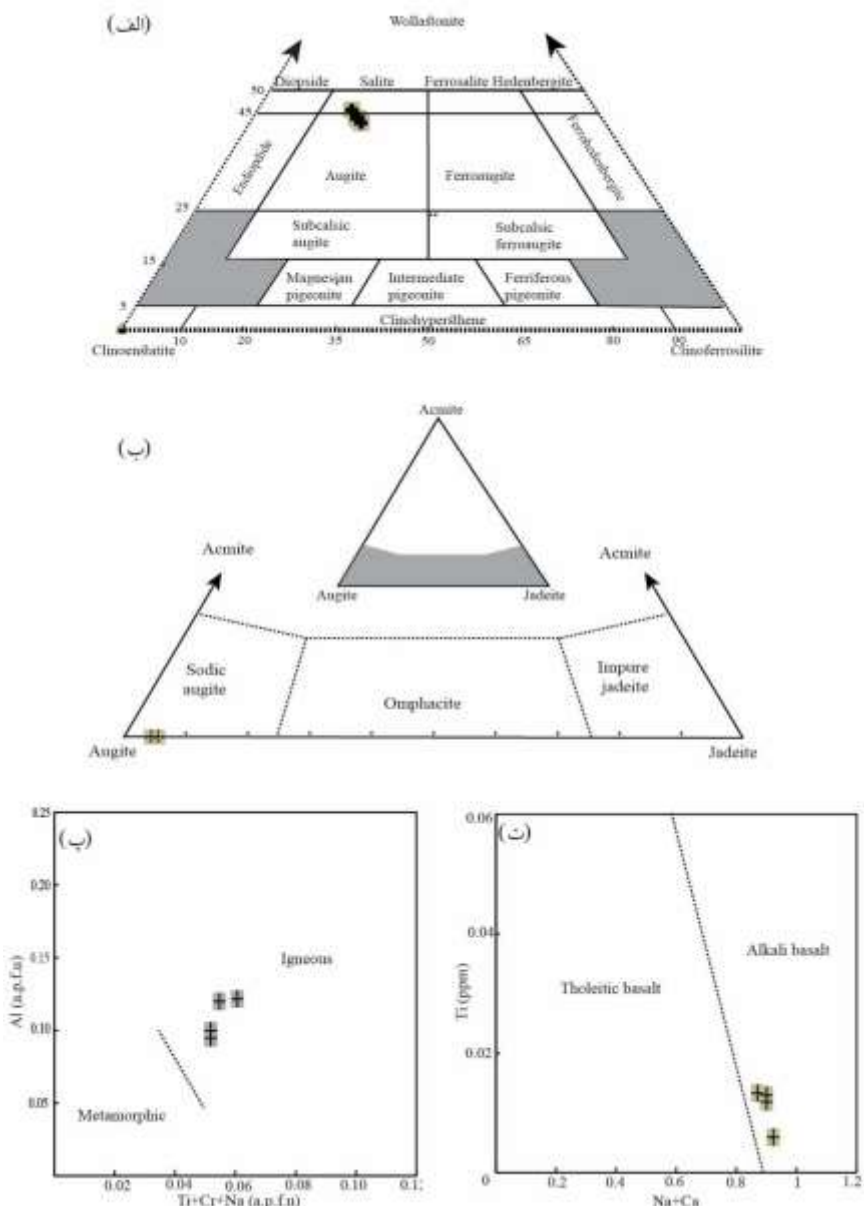
کلینوپیروکسن
بقاوی‌ای بلورهای کلینوپیروکسن به ندرت در مقاطع میکروسکوپی این گروه سنگی دیده می‌شود. این بلورها بدون رنگ و چند رنگی و دارای خاموشی موجی هستند. از پدیده‌های قابل مشاهده در کلینوپیروکسن‌های توهد متاگابرویی، می‌توان به تبدیل آنها به آمفیبول و کانی‌های کدر (شکل ۵ ب) و جدایش کانی‌های کدر در راستای رخ‌ها (شکل ۵ پ)، اشاره کرد. ترکیب شیمیایی پیروکسن‌های مورد بررسی WO_{۴۳-۴۰} (جدول ۲)، بر اساس درصد مولکولی سه عضو پایانی En_{۳۹,۳۳-۳۷,۷۴} F_{۱۴,۳۰-۱۷,۱۴} Al/Ti+Cr+Na_{۱۰}، پیروکسن‌های مورد بررسی در گستره



شکل ۵ تصاویر میکروسکوپی توده متاگابروی: (الف) آمفیبول‌های نیمه شکل دار تا خود شکل زمینه توده متاگابروی. به شکل‌های ماهی‌گون با سوی برش راستگرد و چپگرد و مرزهای سه‌گانه محلی توجه نمایید. (ب) تبدیل بلور کلینوپیروکسن آذرین باقیمانده به آمفیبول و کانی‌های کدر. (پ) انباشت کانی‌های کدر در راستای رخ‌های بلور کلینوپیروکسن.

جدول ۲ ترکیب شیمیایی بلورهای کلینوپیروکسن در متاگابروهای مورد بررسی بر اساس نتایج EPMA (O=۶)

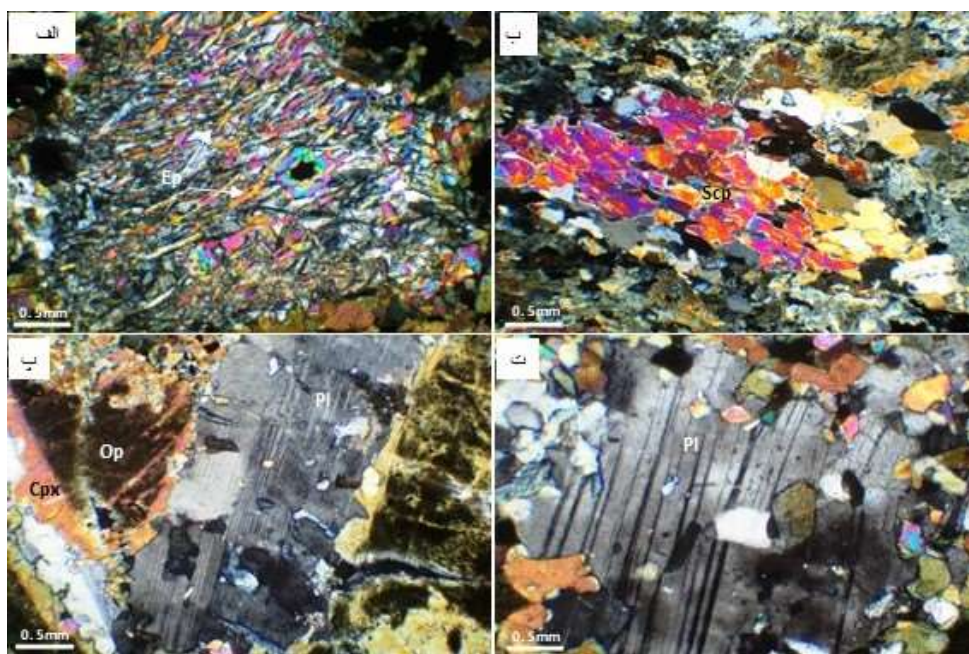
توصیف کالی شماره کالی شماره نقطه	پیروکسن آذرین باقیمانده			
	۱			
	۲۸۰	۲۷۹	شماره نقطه	۲۷۷
SiO ₂	۵۱,۳۵	۵۱,۷۸	۵۱,۵۸	۵۱,۶۲
TiO ₂	۰,۴۲	۰,۲۱	۰,۴۷	۰,۴۶
Al ₂ O ₃	۲,۷۵	۲,۷۱	۲,۲۵	۲,۱۵
Cr ₂ O ₃	۰,۰۰	۰,۰۰	۰,۰۲	۰,۰۴
Fe ₂ O _۳	۰,۰۰	۰,۰۰	۰,۰۰	۰,۰۰
MgO	۱۳,۴۴	۱۳,۳۸	۱۳,۴۸	۱۳,۸۷
CaO	۲۱,۱۵	۲۱,۷۱	۲۱,۶۳	۲۱,۵۲
MnO	۰,۰۱	۰,۰۳	۰,۰۸	۰,۰۴
FeO	۹,۸۵	۸,۶۲	۱۰,۴۴	۹,۹۲
Na ₂ O	۰,۶۷	۰,۶۷	۰,۵۲	۰,۵۲
K ₂ O	۰,۰۲	۰,۰۵	۰,۰۱	۰,۰۴
مجموع	۹۹,۶۶	۹۹,۱۶	۹۹,۴۸	۱۰۰,۱۸
کالیون (O=6)				
Si	۱,۹۳	۱,۹۴	۱,۹۴	۱,۹۳
Ti	۰,۰۱	۰,۰۱	۰,۰۱	۰,۰۱
Al	۰,۱۲	۰,۱۲	۰,۱۰	۰,۰۹
Cr	۰,۰۰	۰,۰۰	۰,۰۰	۰,۰۰
Fe ³⁺	۰,۰۰	۰,۰۰	۰,۰۰	۰,۰۰
Mg	۰,۷۵	۰,۷۵	۰,۷۶	۰,۷۷
Ca	۰,۸۵	۰,۸۷	۰,۸۳	۰,۸۶
Mn	۰,۰۰	۰,۰۰	۰,۰۰	۰,۰۰
Fe ²⁺	۰,۳۱	۰,۲۷	۰,۳۳	۰,۳۱
Na	۰,۰۵	۰,۰۵	۰,۰۴	۰,۰۴
K	۰,۰۰	۰,۰۰	۰,۰۰	۰,۰۰
مجموع	۴,۰۲	۴,۰۲	۴,۰۱	۴,۰۳
X _{En}	۳۹,۳۳	۳۹,۵۶	۳۹,۴۵	۳۹,۷۴
X _{Wo}	۴۶,۴۹	۴۶,۱۴	۴۳,۴۰	۴۴,۳۲
X _{Fs}	۱۶,۱۷	۱۴,۳۰	۱۷,۱۴	۱۵,۹۵
X _{Jd}	۰,۵۲	۰,۵۳	۰,۴۲	۰,۳۹
X _{Acm}	۰,۰۰	۰,۰۰	۰,۰۰	۰,۰۰
X _{Aug}	۹۴,۴۸	۹۴,۴۷	۹۵,۵۸	۹۵,۶۱



شکل ۶ موقعیت بلورهای کلینوپیروکسن توده متابگابرویی در (الف) نمودار Wo-Cen-Cfs [۱۰]، (ب) نمودار Acm-Aug-Jd [۱۱]، (ج) نمودار Al/Ti+Cr+Na و دگرگون [۹] و (د) نمودار Ti/(Ti+Cr+Na) vs. Na/Ca تعیین کننده سری ماگمایی بر اساس شیمی پیروکسن [۱۲]. بر این اساس، بلورهای پیروکسن ماهیت آذرین و ترکیب اوزیتی دارد و از ماگمایی با ترکیب قلایی شکل گرفته‌اند.

خاموشی لکه‌ای نشان می‌دهد (شکل ۷ پ). خاموشی موجی، ماکل‌های تغییر شکلی خمیده (شکل ۷ ت) و مرزهای دندانه‌دار (شکل ۷ ب، ت، ت)، از ویژگی‌های بلورهای پلازیوکلاز هستند. این بلورها دارای منطقه‌بندی بوده و درصد مولی آنورتیت، بدون نظم ویژه‌ای از مرکز تا لبه، در تغییر است (جدول ۳). بر پایه نمودار تقسیم‌بندی پلازیوکلازها [۱۴]، بلورها در گستره الیگوکلاز قرار می‌گیرند (شکل ۸).

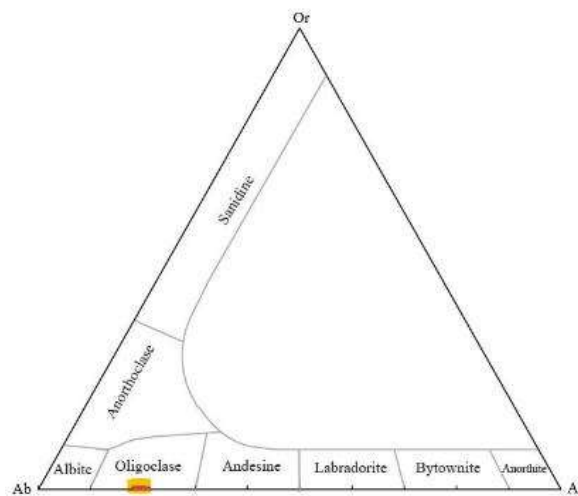
پلازیوکلاز
در بیشتر بلورهای پلازیوکلاز، تنها آثار کمی از بلورهای اولیه باقی مانده و سطح آنها به طور کامل با بلورهای سوزنی شکل اپیدوت (شکل ۷ الف)، کلسیت و اسکاپولیت (شکل ۷ ب)، پوشیده شده‌است. بلورهای پلازیوکلازی که کمتر در معرض فرایندهای ثانویه بوده‌اند، ماکل همزمان چندربختی و کارلسbad نشان می‌دهند. در این گروه از بلورها، ماکل آلبیتی در بخش‌هایی از بلور در حال محو شدن است و پلازیوکلاز



شکل ۷ تصاویر میکروسکوپی توده متاگابروی: (الف) پوشیده شدن سطح کانی پلازیوکلاز با بلورهای اپیدوت. (ب) بلورهای پلازیوکلاز اسکاپولیتی، (پ) مرزهای دندانه‌دار، خاموشی لکه‌ای و محوشدن تدریجی ماکل آلبیتی در بخش‌هایی از بلور پلازیوکلاز، (ت) ماکل تغییر شکلی خمیده و مرز دندانه‌دار در بلور پلازیوکلاز.

جدول ۳ ترکیب شیمیایی بلورهای پلازیوکلاز در متاگابروهای مورد مطالعه بر اساس نتایج EPMA ($O=8$)

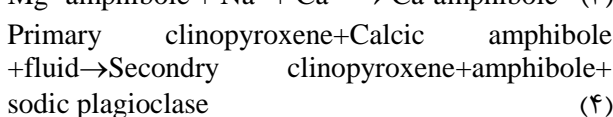
نوع سنگ	متاگابرو		
توصیف کانی	ماتریس		
شماره کانی	۱		
شماره نقطه	۲۶۹۰	۲۶۸	۲۶۷۳
SiO_2	۶۳.۶۳	۶۳.۵۱	۶۳.۶۰
Al_2O_3	۲۲.۳۵	۲۲.۴۹	۲۲.۴۵
FeO	۰.۰۵	۰.۰۷	۰.۰۸
MnO	۰.۰۰	۰.۰۰	۰.۰۰
MgO	۰.۰۰	۰.۰۰	۰.۰۱
CaO	۴.۰۴	۴.۰۵	۳.۹۹
Na_2O	۹.۶۵	۹.۵۶	۹.۳۴
K_2O	۰.۱۳	۰.۱۵	۰.۱۴
BaO	۰.۰۰	۰.۰۱	۰.۰۱
Total	۹۹.۸۴	۹۹.۸۳	۹۹.۶۴
Cation ($O=8$)			
Si	۲.۸۲	۲.۸۲	۲.۸۱
Al	۱.۱۸	۱.۱۷	۱.۱۷
Ti	۰.۰۰	۰.۰۰	۰.۰۰
Fe	۰.۰۰	۰.۰۰	۰.۰۰
Mg	۰.۰۰	۰.۰۰	۰.۰۰
Ca	۰.۱۹	۰.۱۹	۰.۱۹
Na	۰.۸۰	۰.۸۳	۰.۸۲
K	۰.۰۱	۰.۰۱	۰.۰۱
Ba	۰.۰۰	۰.۰۰	۰.۰۰
Total	۵.۰۰	۵.۰۲	۵.۰۱
X_{Or}	۰.۷۴	۰.۶۹	۰.۸۳
X_{Ab}	۷۹.۹۴	۸۰.۶۴	۸۰.۳۷
X_{An}	۱۹.۳۲	۱۸.۶۷	۱۸.۸۰



شکل ۸ موقعیت بلورهای فلدسپات در سنگ‌شناسی‌های مورد بررسی در نمودار [۱۳] Or/Ab/An.

کنار سایر سنگ‌های دگرگون و دگرشکل منطقه با سنی مشابه قرار دارد. از این رو دچار سایر رخدادهای پیش آمده برای سنگ‌شناسی‌های دیگر شده است. بر این اساس، فرضیه دوم در مورد تشکیل آمفیبول متاگابریوی اسکاپولیتی، محتمل‌تر است. در صورت عملکرد فرضیه دوم، دگرگونی قهقرایی و دگرنهادی، دو حالت را می‌توان در نظر گرفت:

فرضیه اول این است که تغییر از گابریو به آمفیبول متاگابریو اسکاپولیتی طی فرایند آبدار شدن و آمفیبولی شدن توده گابریوی اولیه و مراحل مختلف جایگزینی کانی‌ها صورت گرفته باشد. قابل درک است که، در مراحل اولیه فرایند آبدار شدن در شرایط رخساره اپیدوت آمفیبولیت، در مناطقی از توده که شدت عملکرد دگرشکلی کمتر و از این رو نفوذ سیال‌ها به صورت محدودتر بوده است، آمفیبول‌هایی از جنس آنتوفیلیت، فروهورنبلند و منیزیوهوهورنبلند به صورت لبه بافت تاج خروسی، پیرامون فازهای مافیک ماقمایی اولیه (اوژیت) تشکیل و شروع به رشد کرده‌اند. در بخش‌هایی از توده با دگرشکلی شدیدتر، فرایند آبدار شدن تکمیل و لبه‌های بافت تاج خروسی و بلورهای پیروکسن باقیمانده از بین رفته و با آمفیبول‌های هاستنگریتی منیزیومدار جایگزین شده‌اند. تبدیل کلینوپیروکسن به آمفیبول بر اساس یکی از واکنش‌های زیر ممکن است [۱۴-۱۵]



اسکاپولیت
بلورهای اسکاپولیت با انباشت دانه‌ای، بلورهای بدون رنگ و دوشکستی سری دوم جایگزین پلاژیوکلاز شده‌اند (شکل ۷ ب).

کوارتز

کوارتز هم به طور پراکنده در متن سنگ و هم در نوارهای مستقل کوارتز-فلدسپاتی دیده می‌شود که بیشتر فراوردهای از سیلیس آزاد شده از واکنش‌ها طی فرایند دگرگونی، تغییر شکل و دگرنهادی است [۱۵]. بلورهای بی‌شک کوارتز با خاموشی موجی ضعیف و مرزهای سه‌گانه محلی دیده می‌شوند.

تیتانیت

بلورهای تیتانیت در محل پیروکسن‌های قدیمی یا بر بلورهای آمفیبول زمینه تشکیل شده‌اند و بیشتر از نوع ثانویه هستند (شکل ۹ الف). این بلورها شکل‌های ماهی‌گون نشان می‌دهند.

میکا

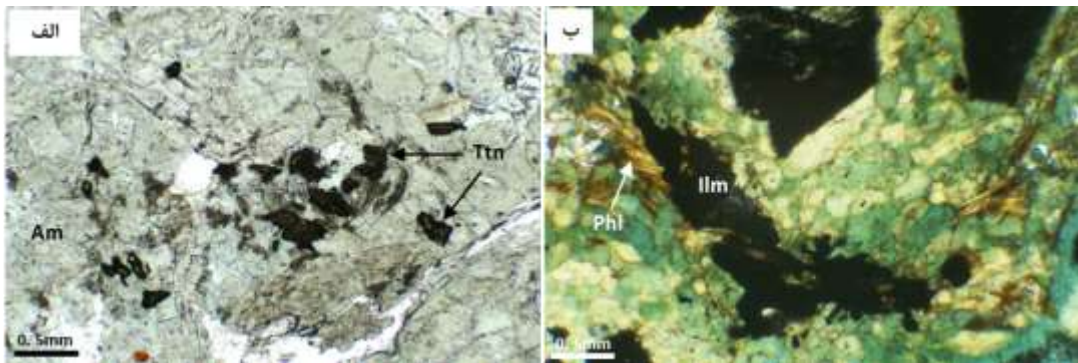
بلورهای فلوگوپیت، با چندرنگی مستقیم قهقهه‌ای کمرنگ تا پررنگ، در لبه بلورهای ایلمنیت دیده می‌شوند (شکل ۹ ب).

کانی‌های کدر

کانی‌های کدر، پیرامون و درون بلورهای کلینوپیروکسن (شکل ۵ ب)، در راستای رخ آنها (شکل ۵ ب)، همچنین در فضای بین کانی‌های زمینه انباشته شده‌اند (شکل ۳ الف). در حالت آخر، این کانی‌ها در راستای جهت یافتگی کلی سنگ کشیده شده‌اند.

چگونگی تشکیل آمفیبول متاگابریو اسکاپولیتی

تشکیل آمفیبول متاگابریو اسکاپولیتی می‌تواند، برآمده از واکنش‌های زیر خط انجامد گابریو و دگرسانی دویتری یا ناشی از فرایندهای دگرنهادی و دگرگونی قهقرایی باشد. توده متاگابریوی مورد بررسی به سن 535 ± 9.5 میلیون سال [۳]،



شکل ۹ تصاویر میکروسکوپی توده متاگابروی: (الف) انباشت بلورهای تیتانیت بر کانی آمفیبول (ب) تشکیل میکا در لبه بلورهای ایلمنیت.

گابرویی به همراه سایر بخش‌های مجموعه دگرگونی متعدد مشابهی را پشت سر گذاشتند و برایه شواهد موجود، سایر توده‌های متاتزیتی مورد بررسی به احتمال بسیار در شرایط رخساره‌های درجه بالاتری قرار داشته‌اند [۵]، صحیح بودن این فرضیه نیز دور از انتظار نیست. در این حالت، چنانچه اکلوژیت در مفهوم ویژه کلمه (گارنت + امفاسیت) تشکیل شده باشد، واکنش مجموعه کانی‌های موجود ممکن است [۲۰]. در این واکنش، پلازیوکلاز می‌تواند با اسکاپولیت، جایگزین گردد. چنانچه اکلوژیت در مفهوم ویژه تشکیل نشده باشد، و توده گابرویی فقط در شرایط رخساره اکلوژیت قرار گرفته باشد، مسیر آبدار شدن، مشابه به توضیحات بیان شده در بخش پیشین است.

برداشت

توده آمفیبول متاگابروی اسکاپولیتی مورد بررسی، در معرض فرایندهای دگرگونی، دگرشکلی و دگرنهادی متعددی قرار گرفته است. وجود خاموشی موجی، مرزهای دندانه‌دار و ماکلهای تغییر شکل خمیده در پلازیوکلاز نشان دهنده عملکرد فازهای دگرشکلی و تشکیل آمفیبول و تیتانیت ماهی‌شکل نشانگر عملکرد پهنه‌های برشی در منطقه هستند. فرایند دگرنهادی باعث حذف بخشی ماکلهای موجود در پلازیوکلاز و همچنین جایگزینی پلازیوکلاز با اسکاپولیت شده است. باوجود رغم عملکرد رخدادهای یاد شده، توده مورد بررسی به صورت محلی آثار بافت آذرین اولیه را حفظ کرده است. بررسی های شیمی کانی در کنار بازدیدهای صحرایی نشان می‌دهد که تغییر از گابرو به آمفیبول متاگابروی اسکاپولیتی به احتمال بسیار طی فرایند آبدار شدن و آمفیبولی شدن توده گابرویی اولیه و مراحل مختلف جایگزینی کانی‌ها صورت گرفته است.

قدرتانی

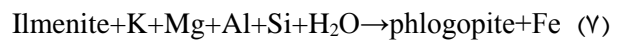
تجزیه‌های ریزکاوالکترونی در آزمایشگاه EPMA، دانشگاه

واکنش تبدیل کلینوپیروکسن به آمفیبول می‌تواند باعث آزاد شدن عنصر فرومیزین از ساختار پیروکسن گردد. طی فرایند آبدار شدن، کانی پلازیوکلاز نیز، در اثر ورود NaCl شکسته شده و کانی اسکاپولیت، جایگزین آن می‌گردد [۱۷]. این واکنش منجر به آزاد شدن کلسیم و الومینیوم و سدیمی تر شدن ترکیب پلازیوکلاز می‌گردد [۱۷، ۱۵]:



مشابه این ترکیب و حتی ترکیب آلیتی در متاگابروها معمول بوده و در نقاط متعددی از جهان گزارش شده است (برای مثال [۱۹، ۱۷]).

ورود سیال‌های غنی از پتاسیم و سیلیس، به همراه عنصر آزاد شده از واکنش‌های پیشین، تشکیل فلوگوپیت از ایلمنیت را تسهیل می‌کند [۱۷]:



آیا همه آمفیبول‌های با بافت تاج خرسی، برآمده از یک رخداد دگرنهادی هستند و در اثر یک واکنش ایجاد شده‌اند و حضور همزمان اکتینولیت و منیزیوهومنبلند، نشان از جانشینی چرماتیتی یا ادنیتی در ساختمان آمفیبول دارد؟ آیا آمفیبول‌های با بافت تاج خرسی، ناشی از یک رخداد دگرنهادی هستند و در اثر چند واکنش مجرما، ایجاد شده‌اند و یا آمفیبول‌های یاد شده، فرآورده فرایندهای متعدد دگرنهادی در زمان‌های مختلف هستند؟ شواهد بافتی کافی برای ترجیح دادن یکی از این احتمال‌ها، وجود ندارد.

فرضیه دوم این است که توده گابرویی مورد نظر پیش از اینکه در شرایط رخساره اپیدوت آمفیبولیت قرار گیرد، در معرض شرایط رخساره‌های فشار و دما بالاتری بوده باشد. این فرضیه به دلیل شباهت مجموعه کانی‌های موجود در توده متاگابروی با مجموعه کانی‌های متاگابروهای اکلوژیتی که در سیر دگرگونی قهقرایی در شرایط رخساره آمفیبولیتی قرار گرفته‌اند، مطرح می‌گردد [۲۰]. همچنین، از آنجا که توده

French Massif Central): evidence of a rare preserved Variscan oceanic marker”, Journal of Metamorphic Geology, Vol.23,N.9, 795–812.,(2005).

[11] Poldervaart A., Hess H. H., “*Pyroxenes in the crystallization of basaltic magma*”, Journal of Geology, Vol.59,N. 5, 472–489., (1951).

[12] Banno S., “*Aegirine augites from crystalline schists in Sikoku*”, Geological Society of Japan.Vol. 65, 652–657., (1959).

[13] Leterrier J., Maury R. C., Thonon P., Girard D., Marchal M., “*Clinopyroxene composition as a method of identification of the magmatic affinities of paleo-volcanic series*”, Journal of Earth and Planetary Science Letters,Vol. 59, N.1, 139–154., (1982).

[14] Deer W.A., Howie R.A., Zussman J., “*Rock-forming Minerals. Volume 4A: Frame work Silicates*”, Geological Society of London. 992p., (1963).

[15] Collins L.G., “*Hydrothermal differentiation and myrmekite: a clue to many geologic puzzles*”, Theophrastus. 382p (1988).

[16] Vrana S., Bartek J., “*Retrograde metamorphism in regional shear zone and related chemical changes: The Kaplice unit of muscovite-biotite gneisses in Moldanubian zone of southern Bohemia, Czech Republic*”, Journal of the Czech geological society, Vol.50,N. 1, (2005).

[17] Engvic, A.K., Mezger K., Wortelkamp S., Bast R., Corfu R., Korneliussen A., “*Metasomatism of gabbro – mineral replacement and element mobilization during the Sveconorwegian metamorphic event*”, J. metamorphic Geol., Vol. 29, 399–423, (2011).

[18] Harigane Y., Okamoto A., Morishita T., E. Snow J., Tamura A., Yamashita H., Michibayashi K., Ohara Y., Arai S., “*Melt –fluid infiltration along detachment shear zones in oceanic core complexes: Insight from amphiboles in gabbro mylonites from the Godzilla Megamullion, Parece Vela Basin, the Phillipine Sea, Lithos*”, Vol. 344-345, 217-231, (2019).

[19] Droop G., Chavrit D., “*Eclogitic metagabbro from the Lanzada Window, eastern Central Alps: confirmation of subduction beneath the Malenco Unit, Report of Eclogite from the Lanzada Window*”, University of Manchester, 54P, (2014).

[20] John T., Schenk V., “*Partial eclogitisation of gabbroic rocks in a late Precambrian subduction zone (Zambia): prograde metamorphism triggered by fluid infiltration*”, Journal of Contributions to Mineralogy and Petrology, Vol. 146, N.2, 174–191, (2003).

Rhodes انجام گردید، که به این وسیله از ارائه نتایج ارزنده از ایشان قدردانی می‌شود.

مراجع

- [1] Aghanabati S.A., “*Geology of Iran (in Persian)*”, Geological Survey of Iran., (2004).
- [2] Maleki L., Rashidnezhad-e- Omran N., Hooshmandzadeh A., Büttner S., Cottle J., “*Retrogressed eclogites and eclogitic metagabbros in the Boneh Shurow Complex*”, Central Iran. In EGU General Assembly Conference Abstracts, 20,16333-2., (2018).
- [3] Maleki L., “*Geochemistry and petrogenesis of amphibolites and gneisses of Boneh-shurow metamorphic complex, East Saghand, Central Iran (in Persian)*”, PHD thesis., Tarbiat Modares university.,157p., (2020).
- [4] Maleki L., Rashid Nezhad-e-Omran N., Hooshmandzadeh A., “*Petrology, geochemistry and Sr-Nd isotopic composition of the metabasic rocks of Boneh shurow metamorphic complex, East of Saghand, Central Iran (in Persian)*”, Scientific Quarterly Journal, Geosciences, Vol. 29, No.114, (2019).
- [5] Maleki L., Rashid Nezhad-e-Omran N., Hooshmandzadeh A., Cottle J., “*Investigating the U-Pb zircon data according to the mineral chemistry, Boneh-shurow metamorphic complex, Saghand, Central Iran (in Persian)*”, Scientific Quarterly Journal, Geosciences, Vol.33, No.128, (2023).
- [6] Haghipour A, Pelissier G., “*Geological map of the Biabanak- Bafq area, Scale1: 500000*”, Geological Survey of Iran., (1977).
- [7] Haghipour A., “*Geological map of the Posht-e-Badam area, scale 1:100000*”, Geological Survey of Iran., (1977).
- [8] Leake B.E., Woolley A.R., Arps C.E.S., Birch W.D., Gilbert M.C., Grice J.D., Hawthorne F.C., Kato A., Kisich H.J., Krivovichev V.G., Linthout K., Laird J., Mandarino J.A., Maresch, Nickel E.H., Rock N.M.S., Schumacher J.C., Smith D.C., Stephenson N.C.N., Ungaretti L., Whittaker E.J.W., Youzhi G., “*Nomenclature of amphiboles: Report of the Subcommittee on Amphiboles of the International Mineralogical Association, Commission on New Minerals and Mineral Names*”, Journal of American Mineralogist, Vol.82, 1019–1037., (1997).
- [9] Fleet M. E., Barnett R. L., “*Al^{IV}/Al^{VI} partitioning in calciferous amphiboles from the Frood Mine, Sudbury, Ontario*”, Journal of The Canadian Mineralogist, Vol. 16, N.4, 527–532., (1978).
- [10] Berger J., Femenias O., Mercier J. C. C., Demaiffe D., “*Ocean-floor hydrothermal metamorphism in the Limousin ophiolites (western*